

Atmosphäre und Terrestrische Ökosysteme - Können wir ihre Wechselwirkung beobachten?

Martin Heimann

Max-Planck-Institut für Biogeochemie, Jena, Deutschland

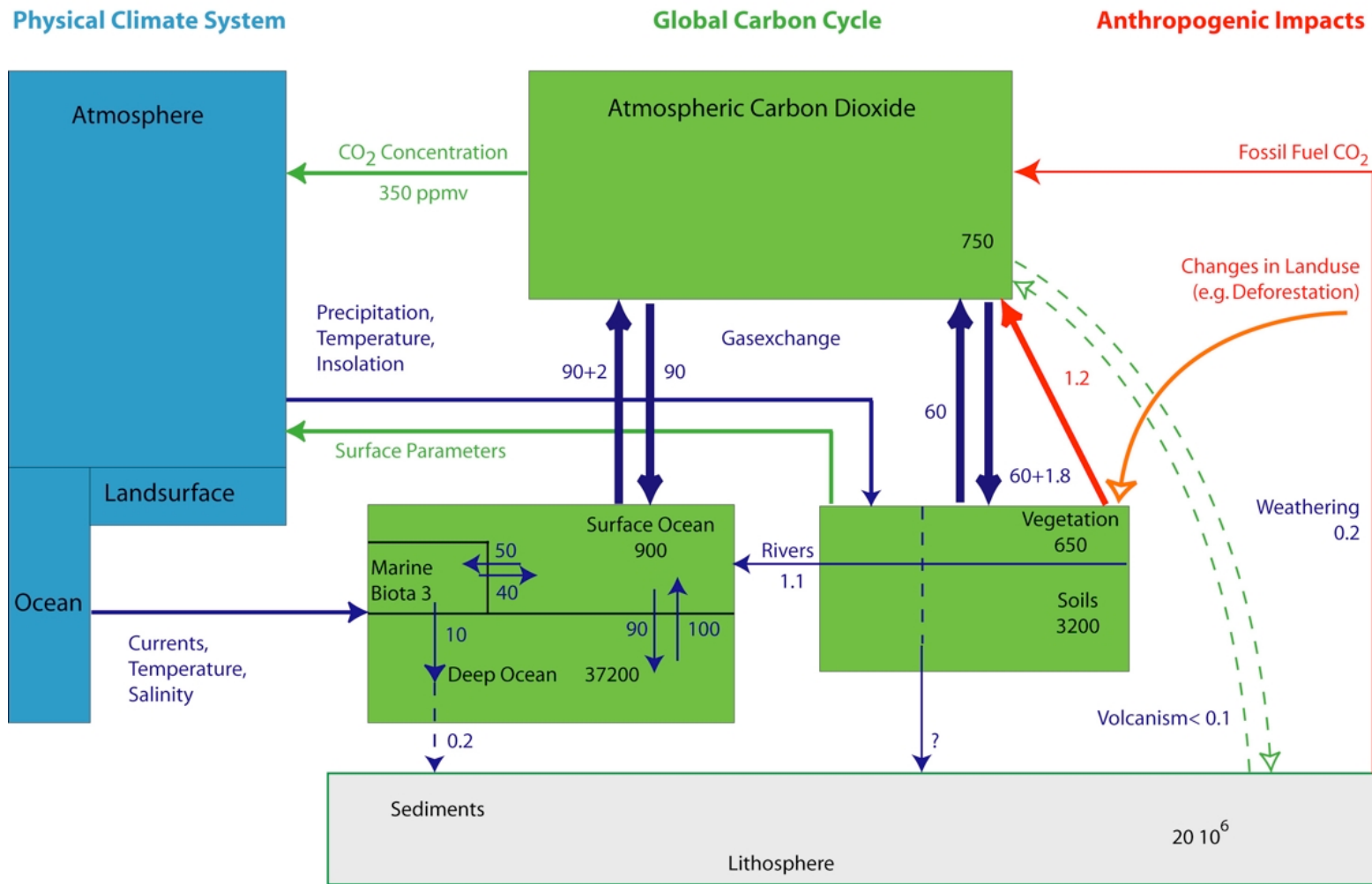
martin.heimann@bgc-jena.mpg.de

Credits:

Christian Rödenbeck, Manuel Gloor, Stefan Körner



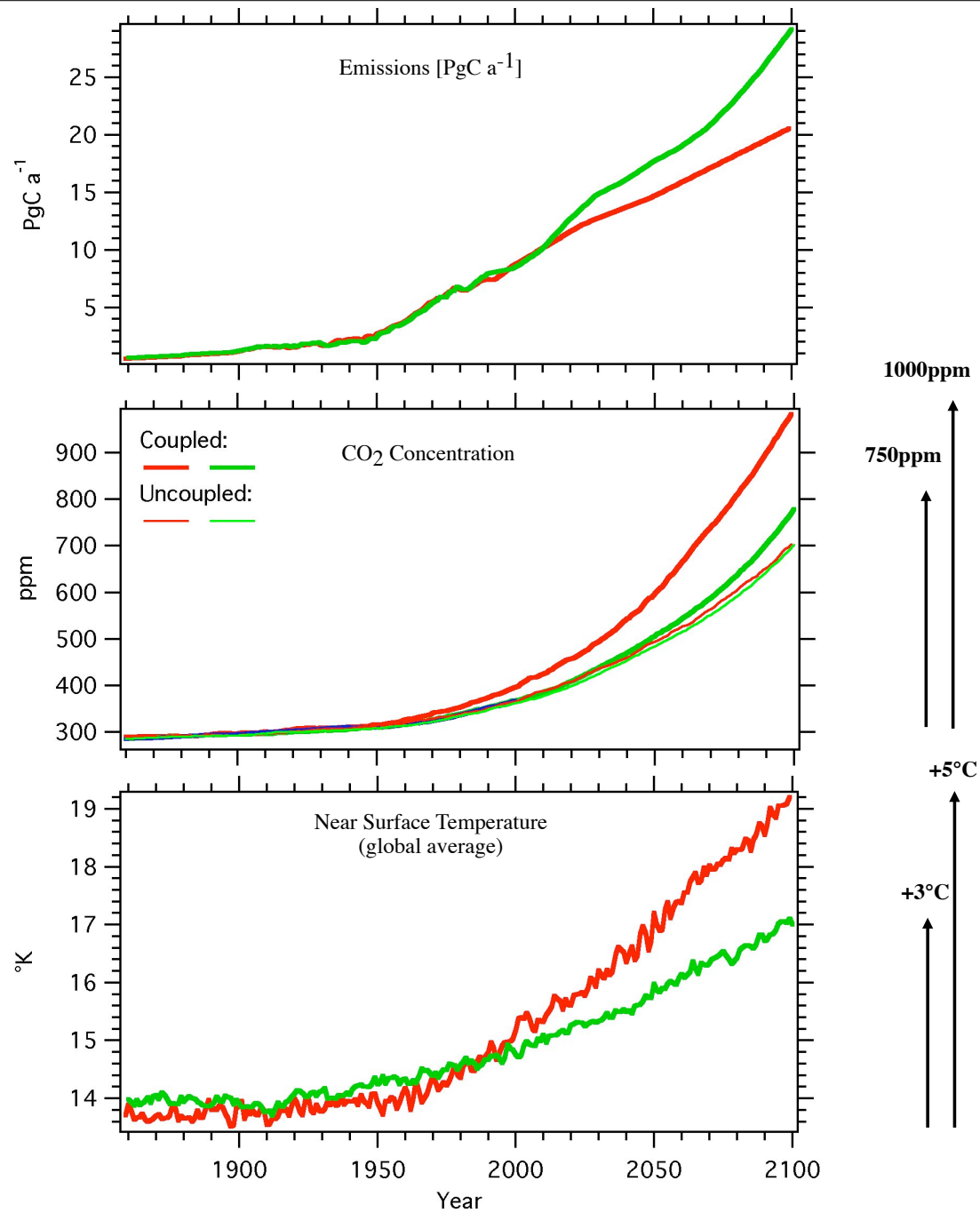
Der Kohlenstoffkreislauf im globalen Klimasystem



Erste Szenarienrechnungen mit gekoppelten Kohlenstoffkreislauf -Klimamodellen

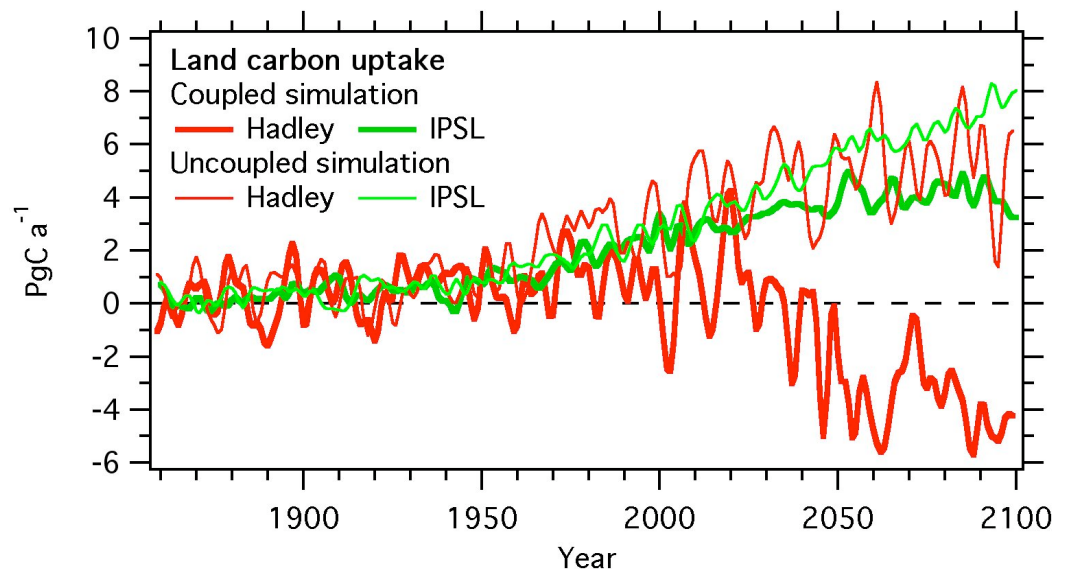
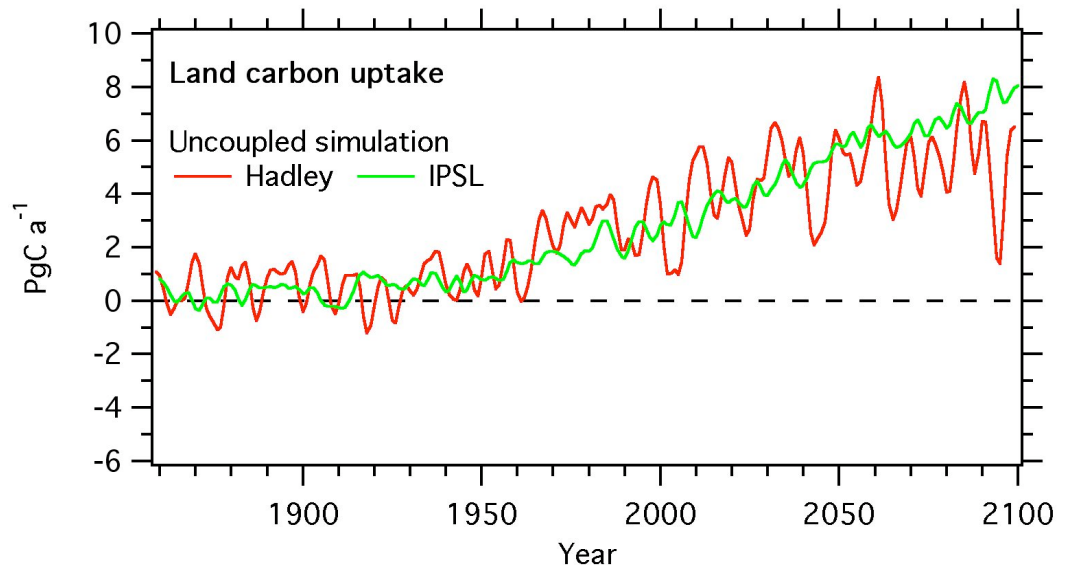
Hadley
IPSL

Cox et al. 2001, Dufrene et al., 2001
IPCC 2001

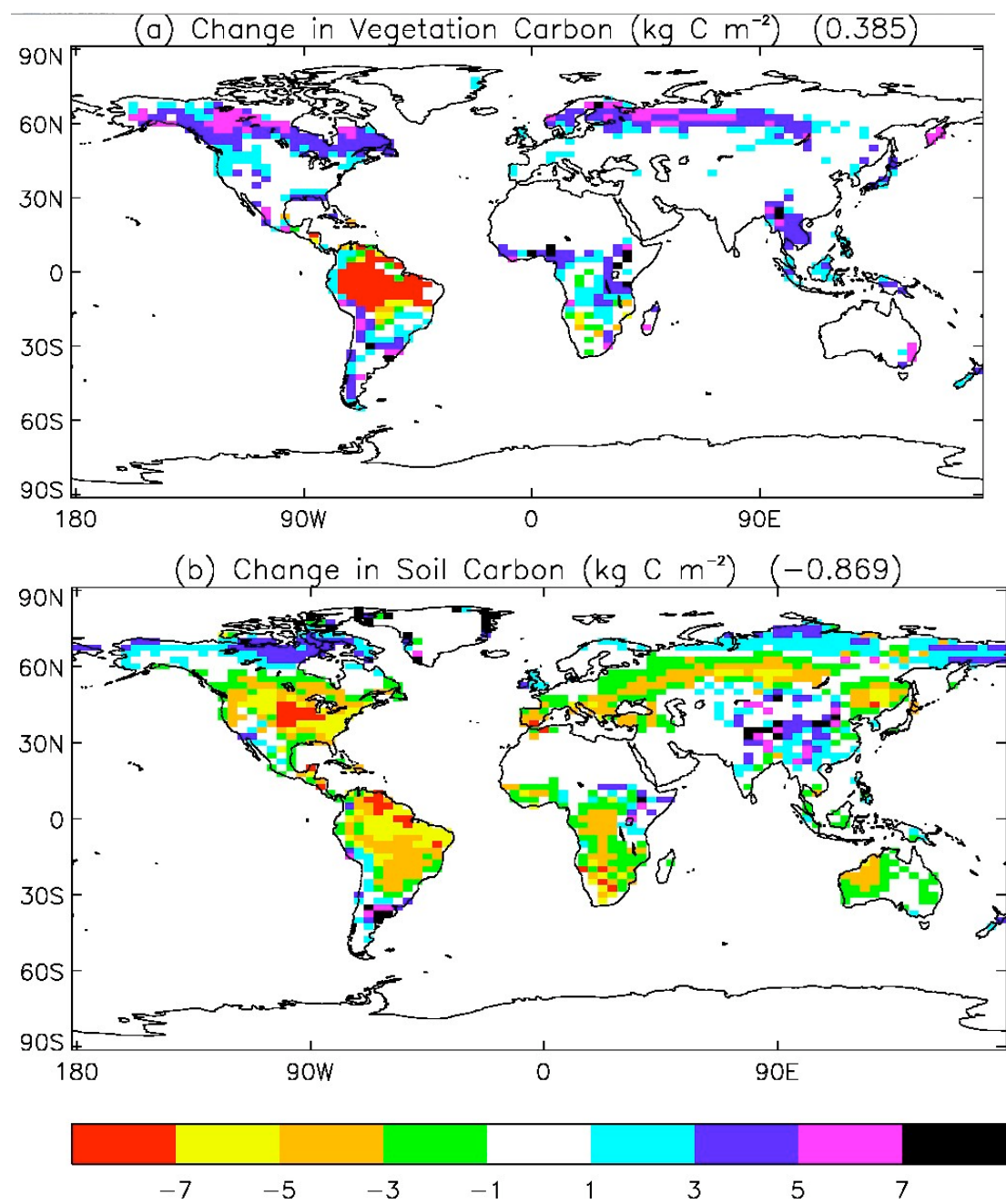


Berechnete globale CO₂ - Aufnahme durch terrestrische Ökosysteme

Cox *et al.* 2001, Dufresne *et al.*, 2001
Friedlingstein *et al.* 2003

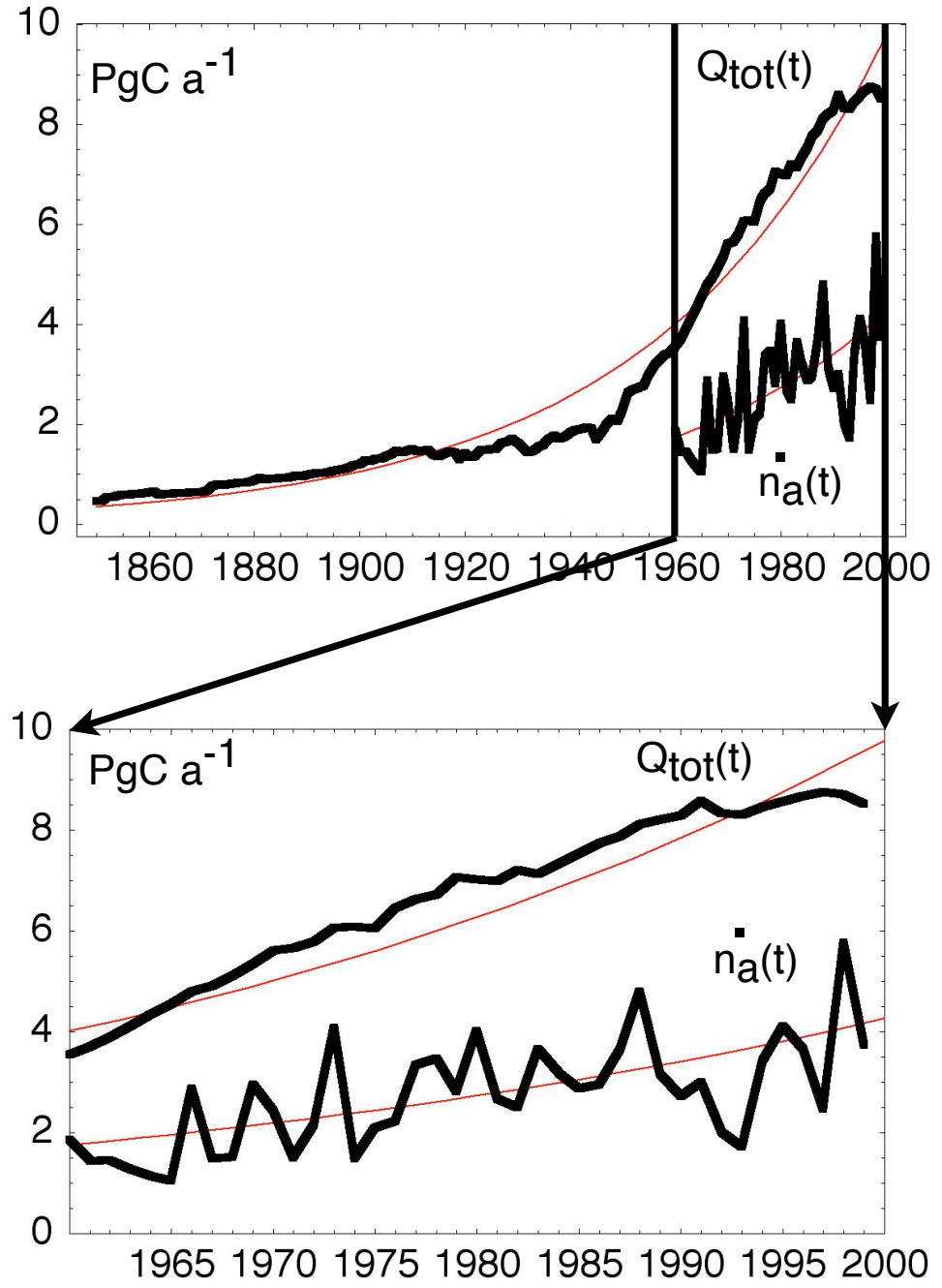


Berechnete Änderungen der terrestrischen Kohlenstoffinventare im Hadley Center Model 1860-2100

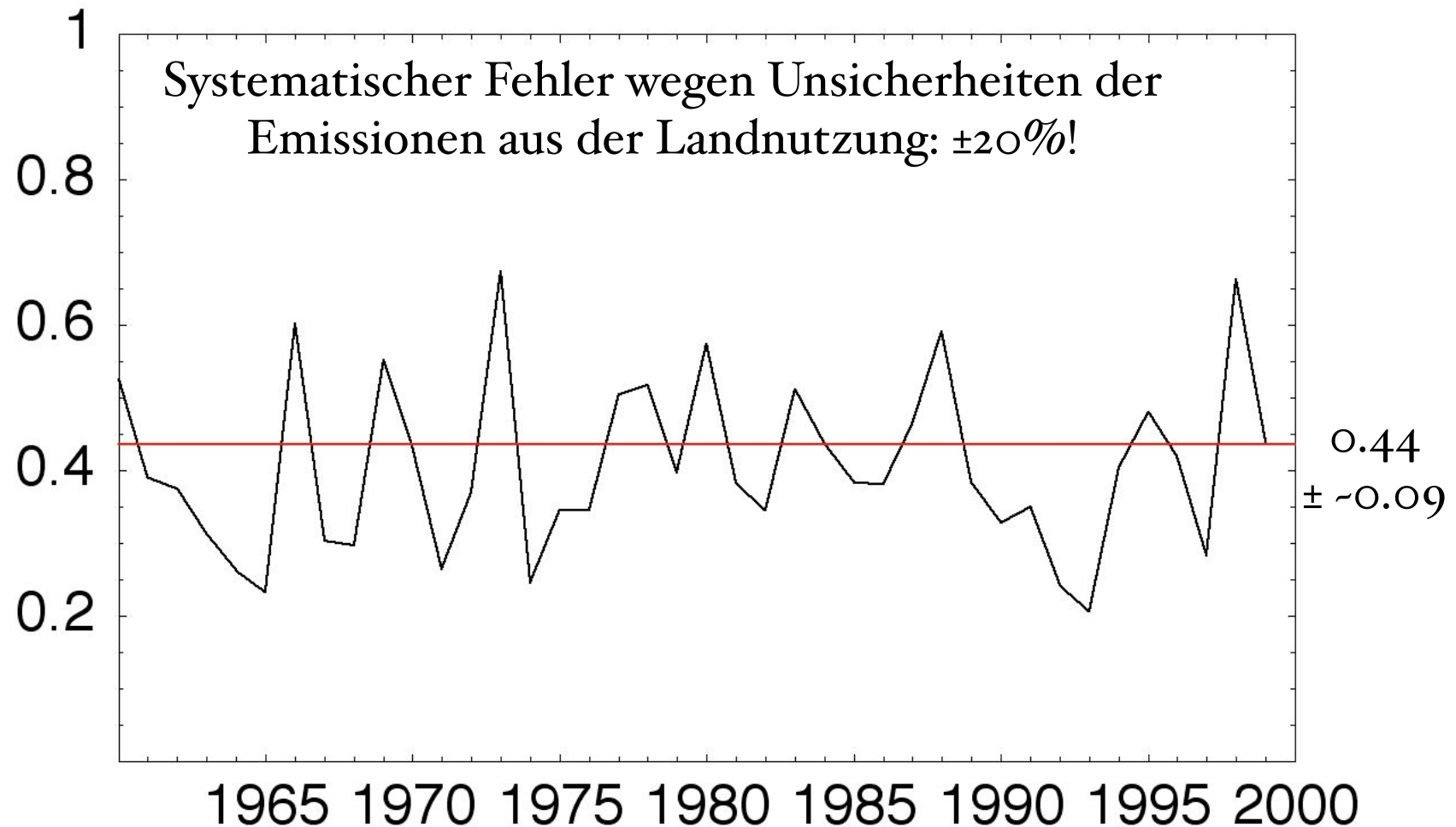


Globale Emissionen und atmosphärische CO_2 Wachstumsrate

Rote Linien:
Exponentialfunktion
mit $\mu = (45 \text{ a})^{-1}$



$$\text{“Airborne Fraction”} = \dot{n}_a / Q_{\text{tot}}$$



Simple Linear Perturbation Model of the Global Carbon Cycle

System of coupled reservoirs, each with carbon content $n(t)$:

$$\frac{d}{dt}n_i(t) = \sum_j F_{i,j}(t) + Q_i(t), i = 1, m$$

Linear expansion of exchange fluxes for small perturbations; assumption that carbon flux depends to first order on donor reservoir:

$$F_{i,j} = k_{i,j}n_i(t) + \dots$$

⇒ System of first order, linear differential equations!

If $Q(t) \sim e^{\mu t}$ then

$$n_i(t) \sim e^{\mu t}$$

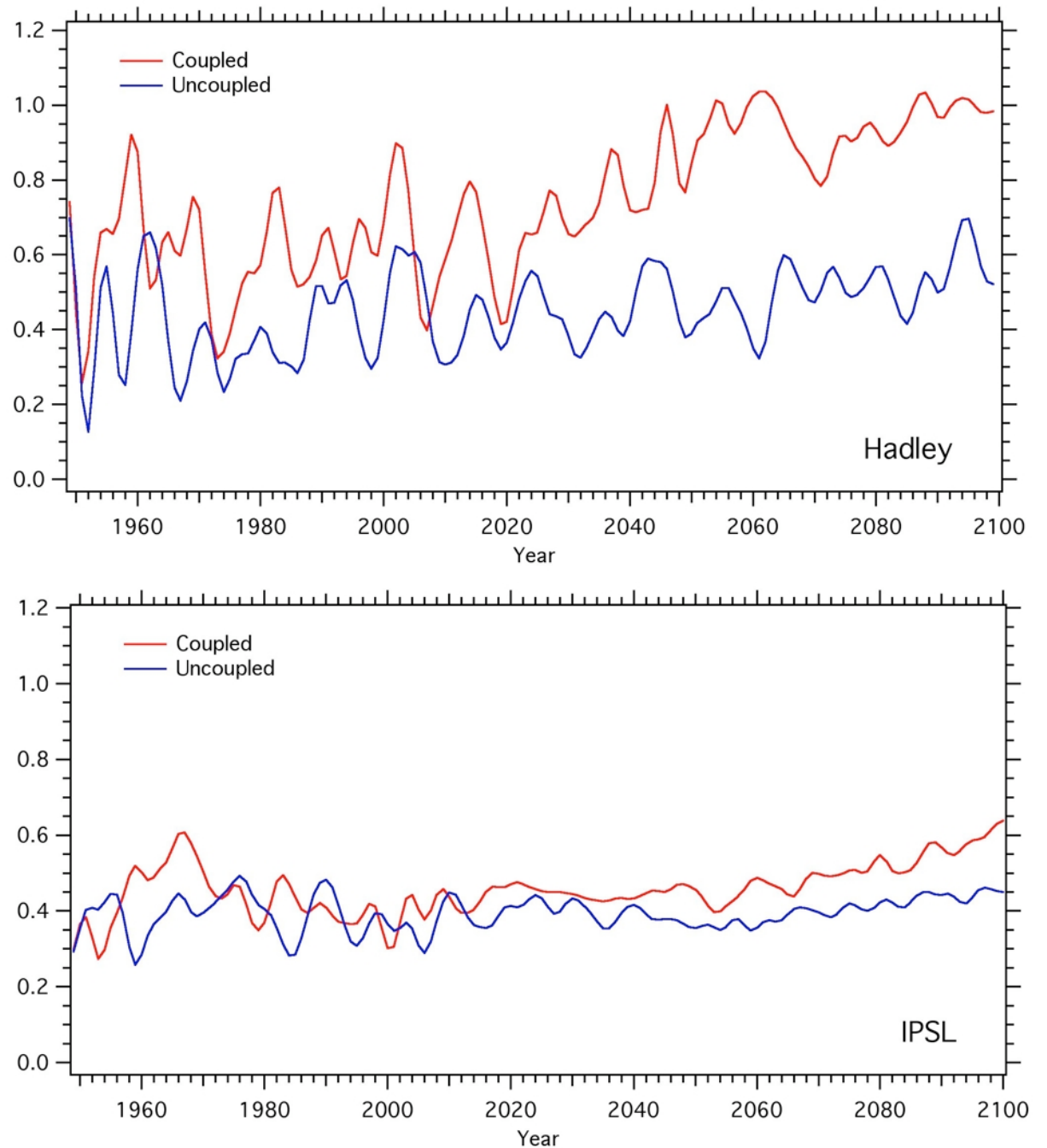
and

$$\frac{n_i}{n_j} = \text{const}$$

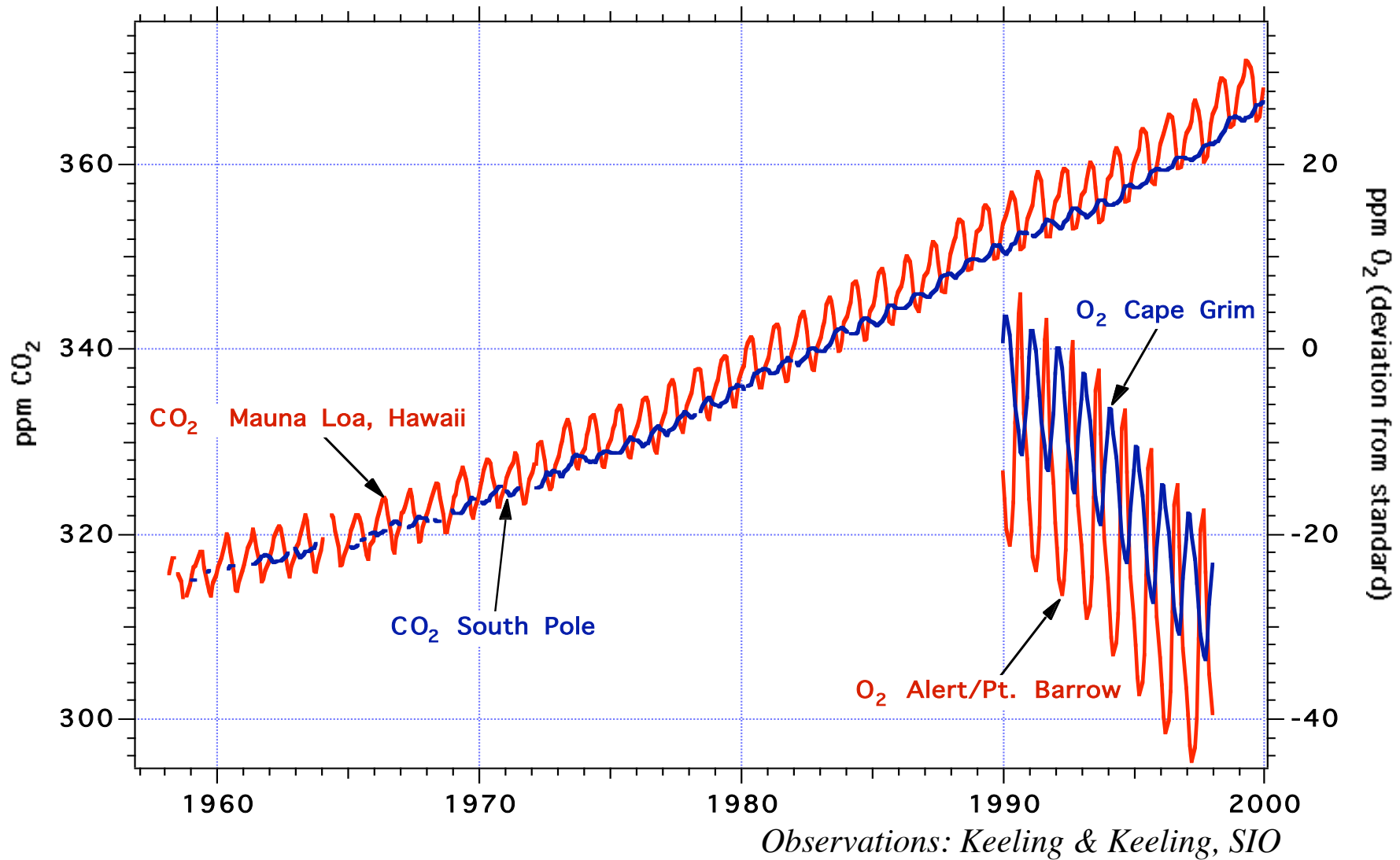
and

$$\frac{\dot{n}_a}{Q} = \text{const!}$$

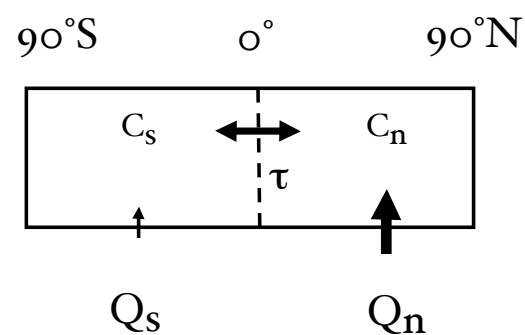
Berechnete Airborne Fraction in den gekoppelten Kohlenstoffkreislauf -Klimamodellen



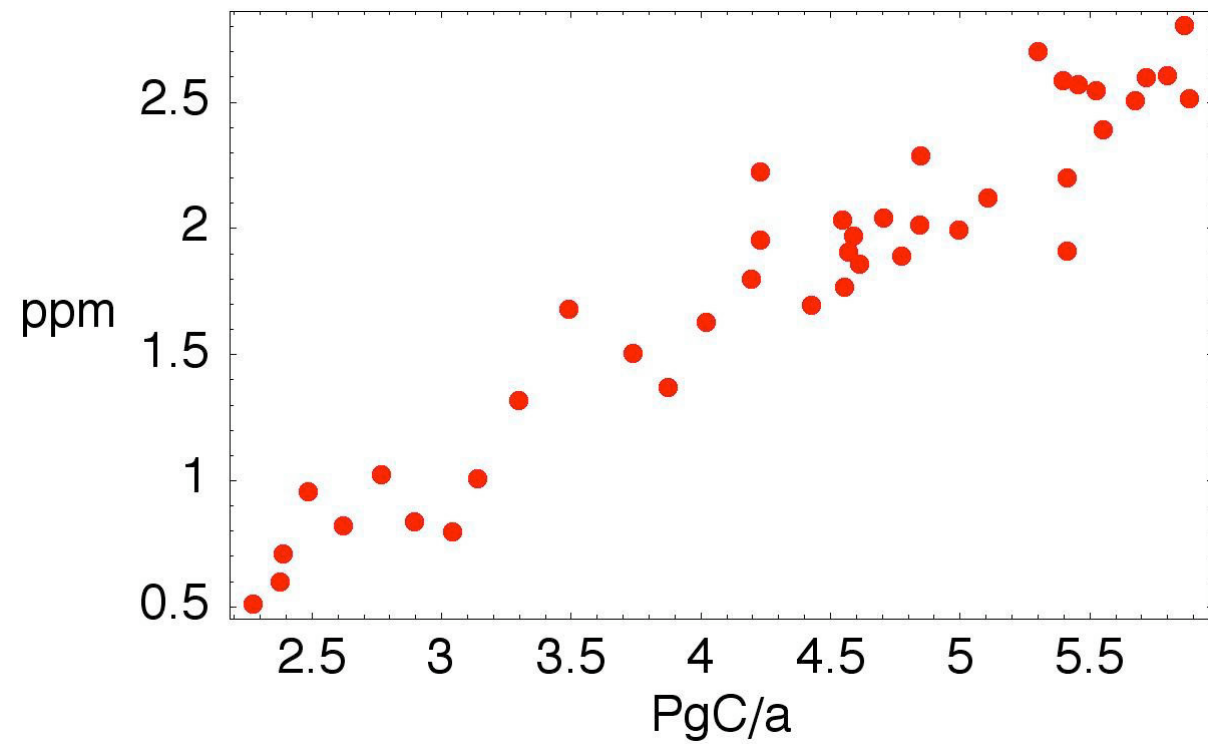
Verlauf der atmosphärischen Konzentration von CO₂ und O₂



Konzentrationsdifferenz Mauna Loa - Südpol als Funktion der Differenz der CO₂ Emissionen in Nord- und Südhemisphäre



$$C_n - C_s = (Q_n - Q_s) \tau/2$$



Ermittlung von Quellen und Senken mit Hilfe der inversen Modellierung

- ◆ Der atmosphärische Transport definiert eine Abbildung vom Raum der Quellen Q in den Raum der Spurenstoffkonzentrationen ($C = \rho\chi$)

$$\frac{\partial}{\partial t} \rho\chi = -\nabla \cdot \mathbf{v}\rho\chi + Q$$

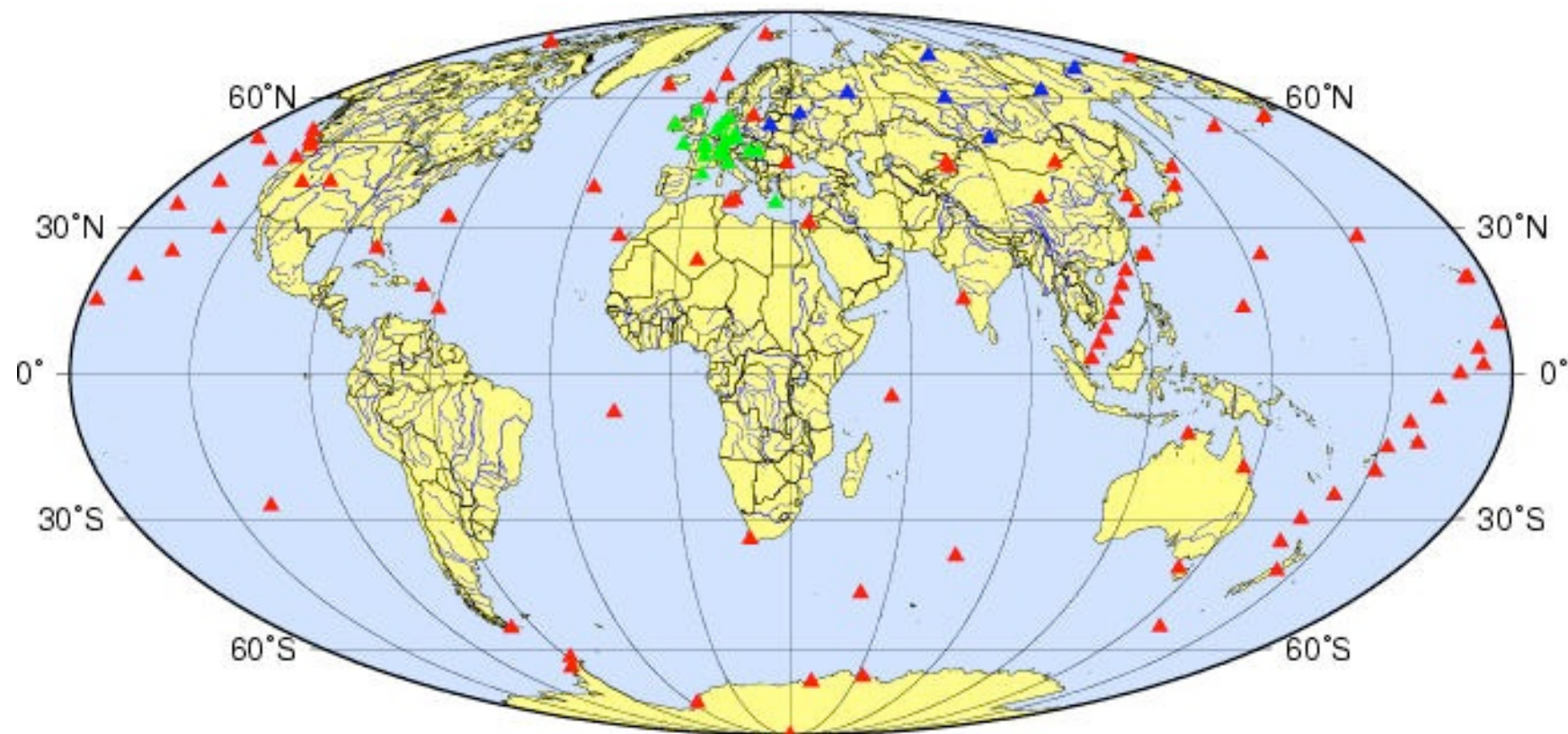
$$C_{mod}(\mathbf{x}, t) = \mathbf{T}Q(\mathbf{x}, t)$$

- ◆ $Q(\mathbf{x}, t)$ wird diskretisiert in Raum und Zeit: q_i , ($i=1, \dots, n_q$)
- ◆ Bereitstellung der *a priori* Information der Quellen: \mathbf{q}_{ap} , \mathbf{Cov}_q
- ◆ Suche das Minimum der Kostenfunktion:

$$S^2 = (\mathbf{T} \cdot \mathbf{q} - \mathbf{C}_{obs})^T \cdot \mathbf{Cov}_{obs}^{-1} \cdot (\mathbf{T} \cdot \mathbf{q} - \mathbf{C}_{obs}) + (\mathbf{q} - \mathbf{q}_{ap})^T \cdot \mathbf{Cov}_q^{-1} \cdot (\mathbf{q} - \mathbf{q}_{ap})$$

- ◆ Die lange Lebensdauer der betrachteten Spurengase verlangt lange spin-up und spin-down Zeiten (> 2 a)

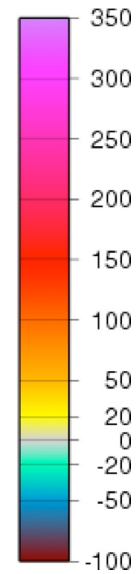
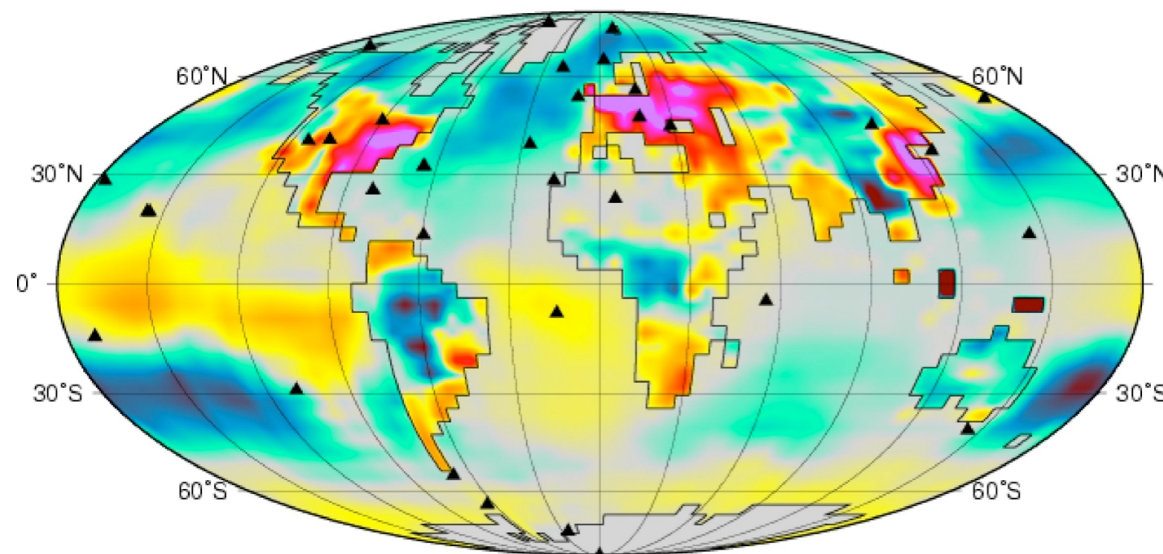
Globales *in situ* Beobachtungsnetz (Flaschendaten, 2000: ca 100 Standorte)



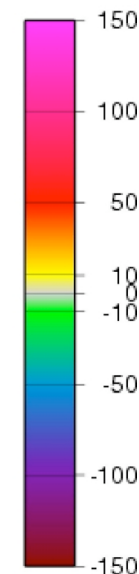
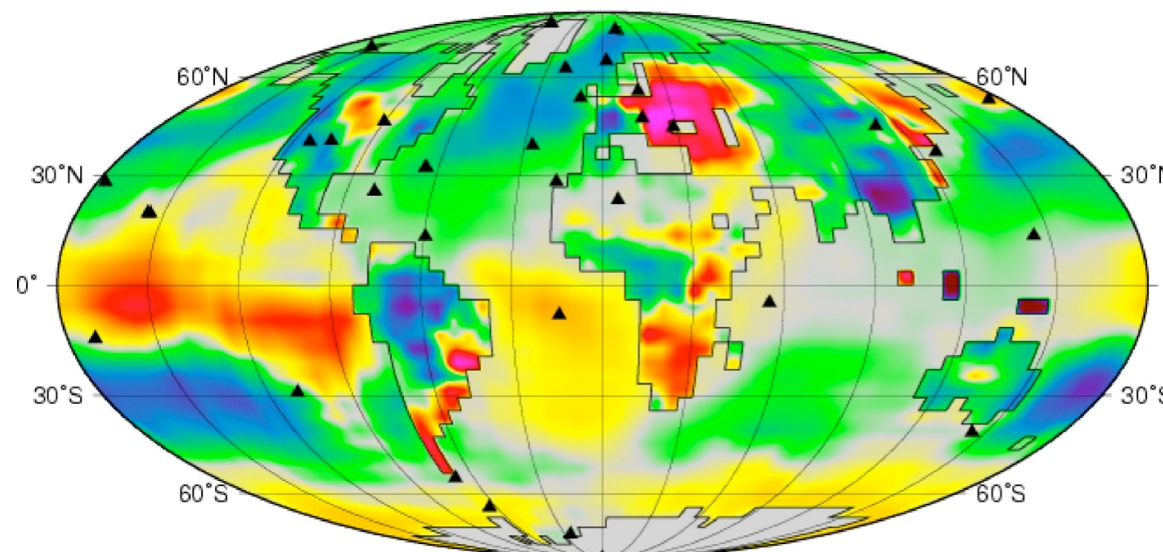
CO₂ Fluss gemittelt über den Zeitraum 1995-2000

Fossile +
natürliche
Quellen

A Posteriori Fluxes + Fossil Emissions, Average July 1995 - June 2000 [gC/m²/yr]



A Posteriori Fluxes, Average July 1995 - June 2000 [gC/m²/yr]



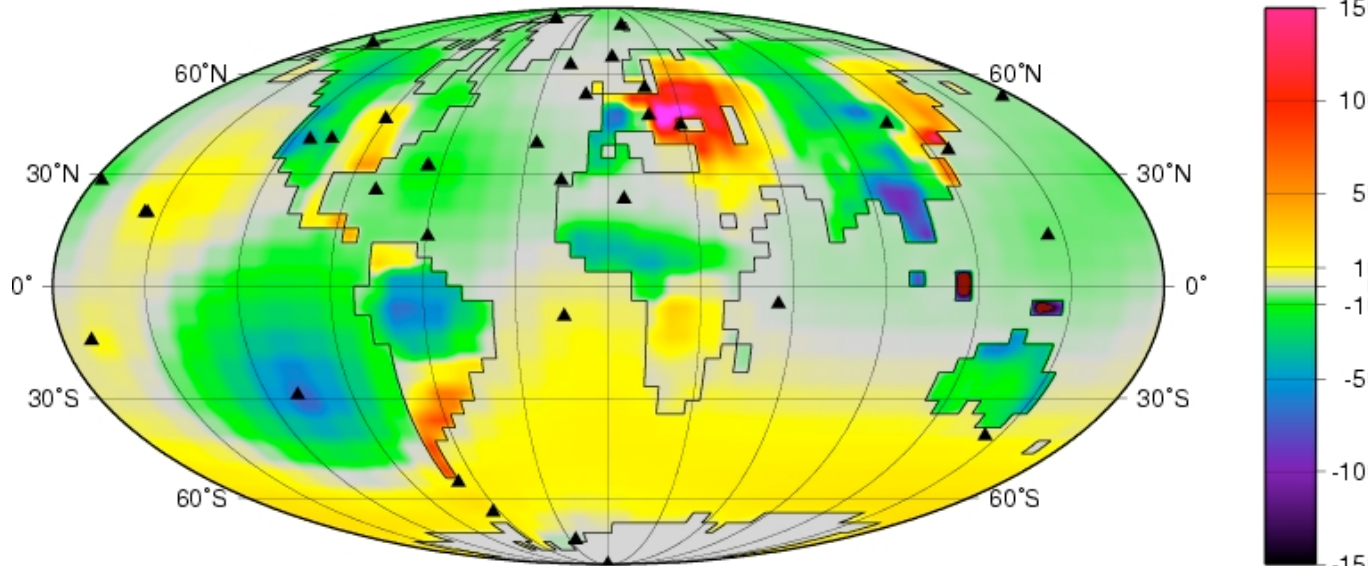
Natürliche
Quellen

Rödenbeck et al., 2003, ACP

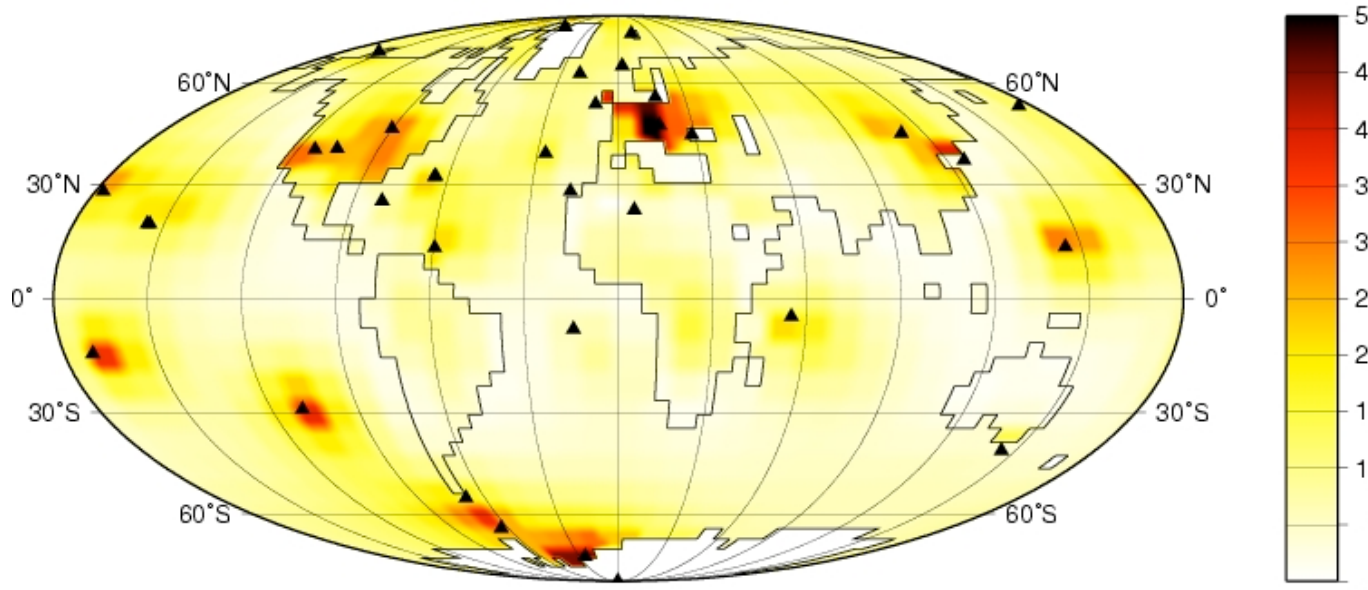
CO₂ Fluss gemittelt über den Zeitraum 1995-2000

Durch atmosphärische
Daten erzeugte
Korrektur

Difference A Posteriori - A Priori Fluxes, July 1995 - June 2000 [gC m⁻² yr⁻¹]



Uncertainty Reduction, July 1995 - June 2000 [%]

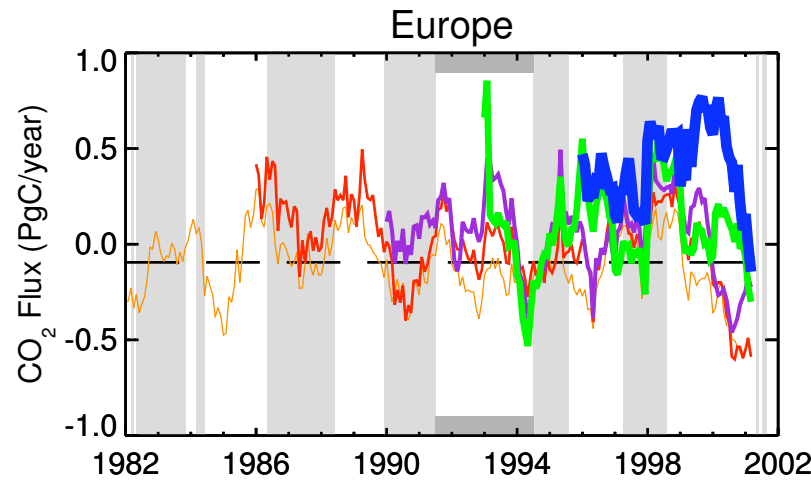


Reduktion der
Unsicherheit

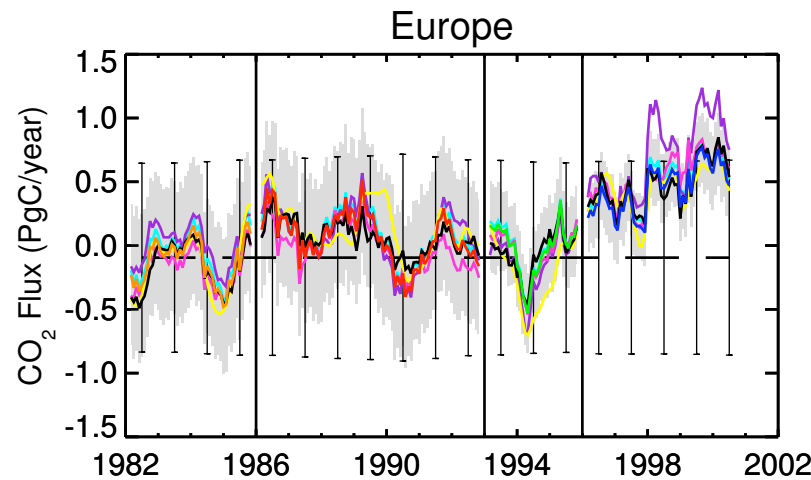
$$1 - \sigma_{post} / \sigma_{pri}$$

CO₂ Bilanz von Europa

- Regionally integrated
- deseasonalized
- non-fossil CO₂ only
- 11, 16, 19, 26, or 35 sampling locations
- positive: surface → atmosphere



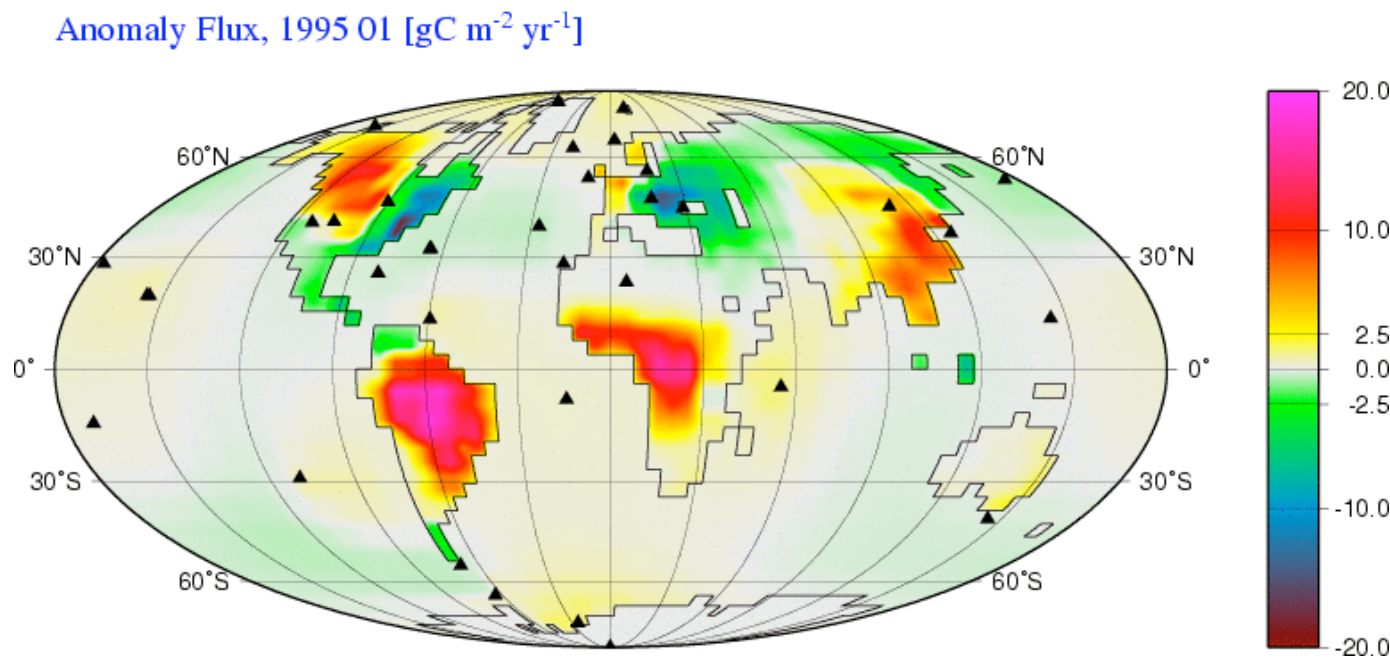
Differences due to
sampling network



- **More robust:**
Timing of anomalies
- **Less robust:**
Long-term spatial flux pattern,
Amplitudes
- Robustness scale-dependent

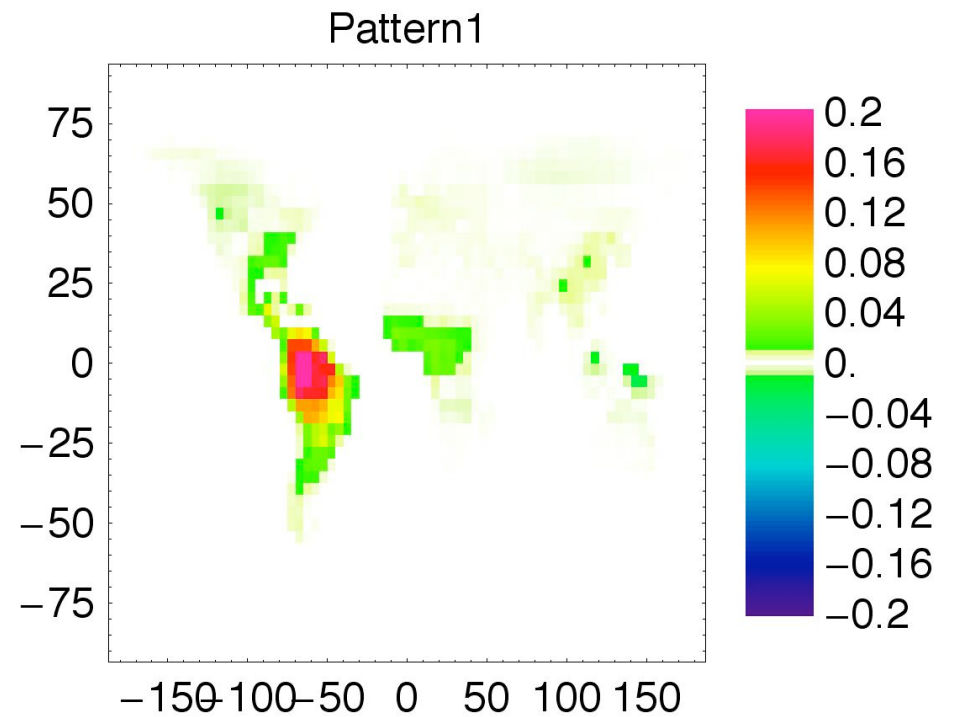
Differences due to
inversion set-up

Interannuale Variabilität ermittelt aus zeitabhängiger Inversion der atmosphärischen CO₂ Messungen 1995–2000



Rödenbeck et al., 2003, *Observations: NOAA-CMDL*

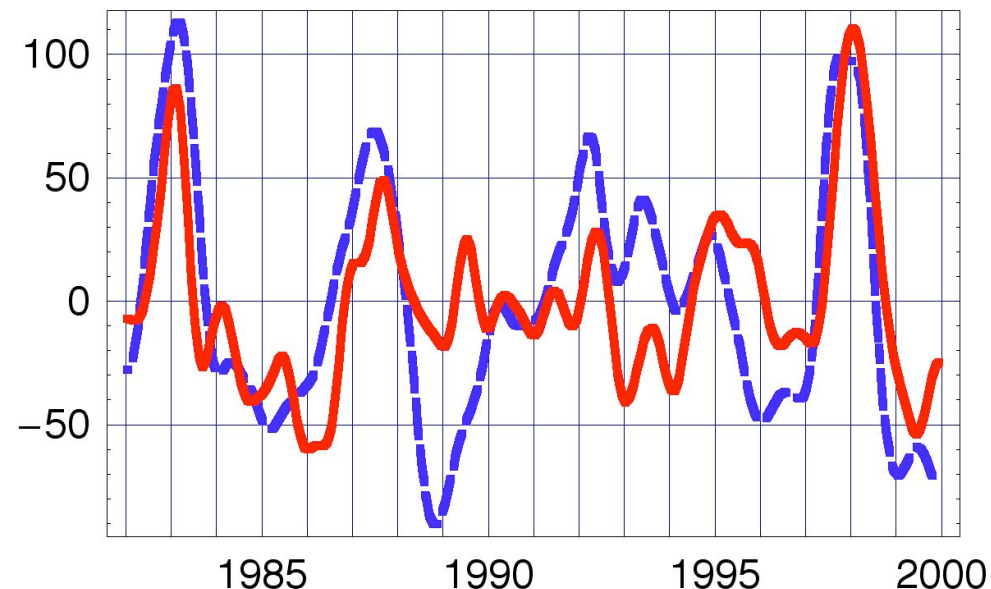
EOF Analyse:
Interannuale Variabilität ist
dominiert durch die
Amazonas-Region
(32% der totalen Varianz)



Korrelation mit MEI ENSO Index

— PCI Zeitreihe

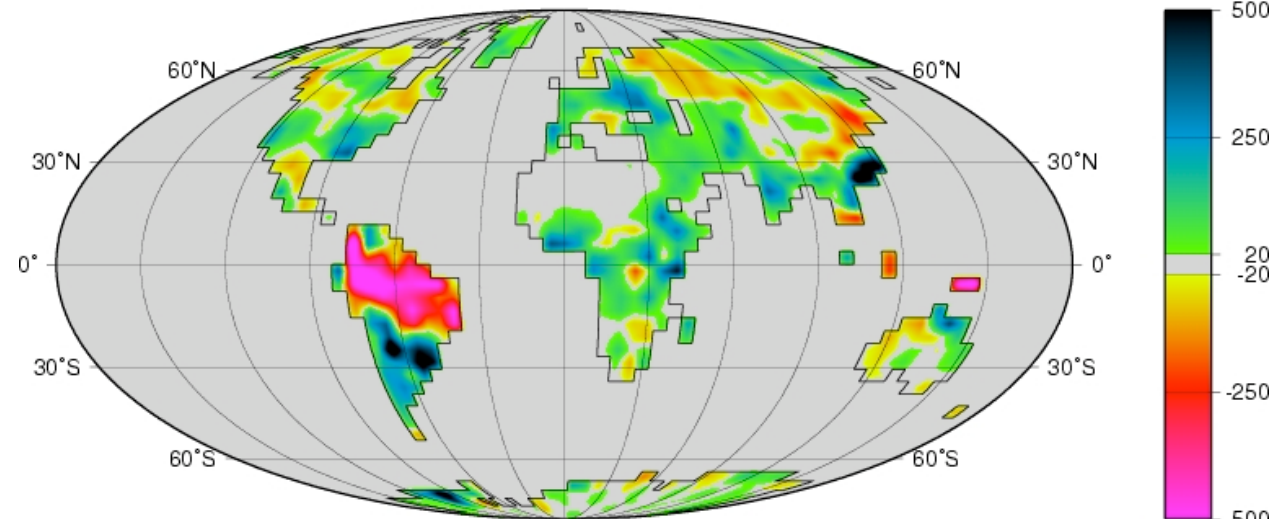
- - - MEI ENSO Index [Wolter, 2002]



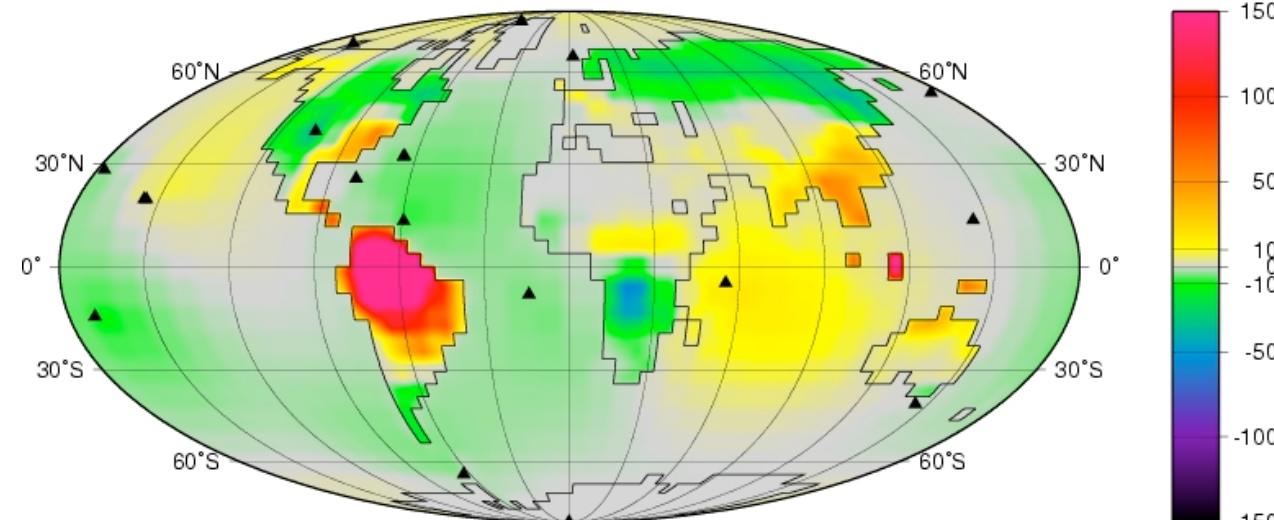
Fehlender Niederschlag als Treiber anomaler CO₂ Emissionen?

El Niño 1997/8

Precipitation Anomalies El Niño (June 1997 - May 1998) [mm]



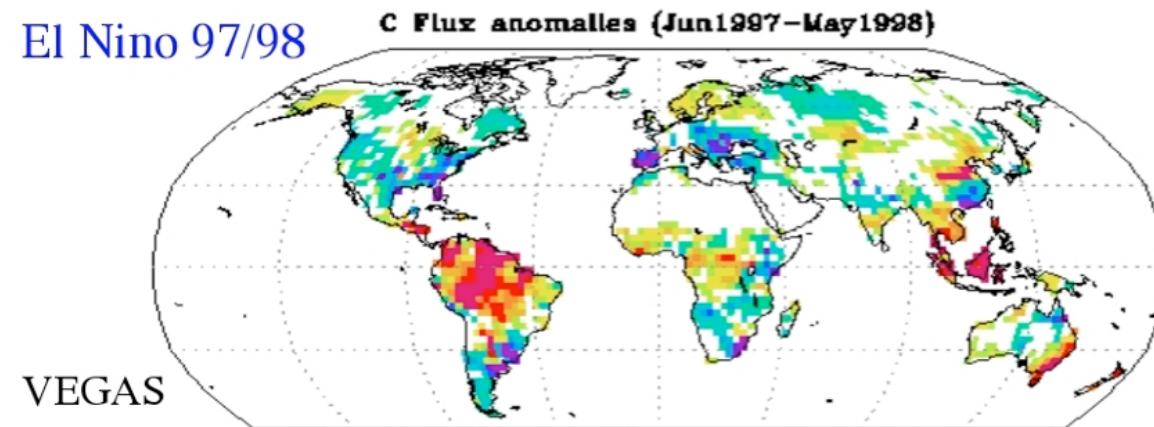
Flux Anomalies El Niño (June 1997 - May 1998) [gC m⁻² yr⁻¹]



Rödenbeck et al., ACP, 2003

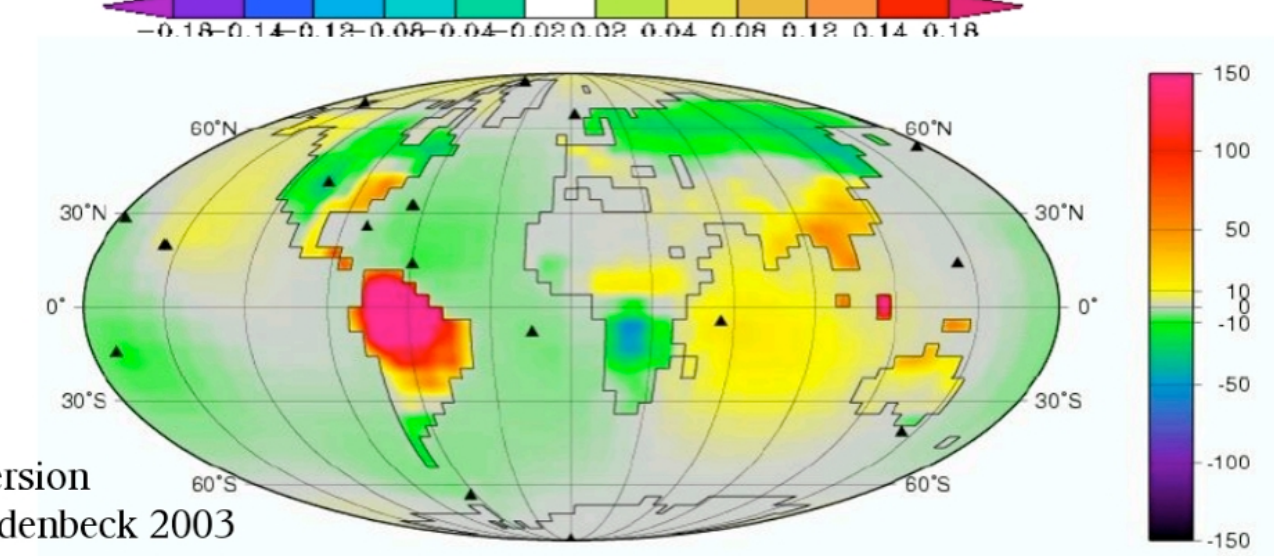
CO₂ Fluss - Anomalien: Modelliert durch globales Biosphärenmodell und beobachtet durch globale Inversionsrechnung

El Nino 97/98



VEGAS

Inversion
Roedenbeck 2003



Zeng et al., in prep.

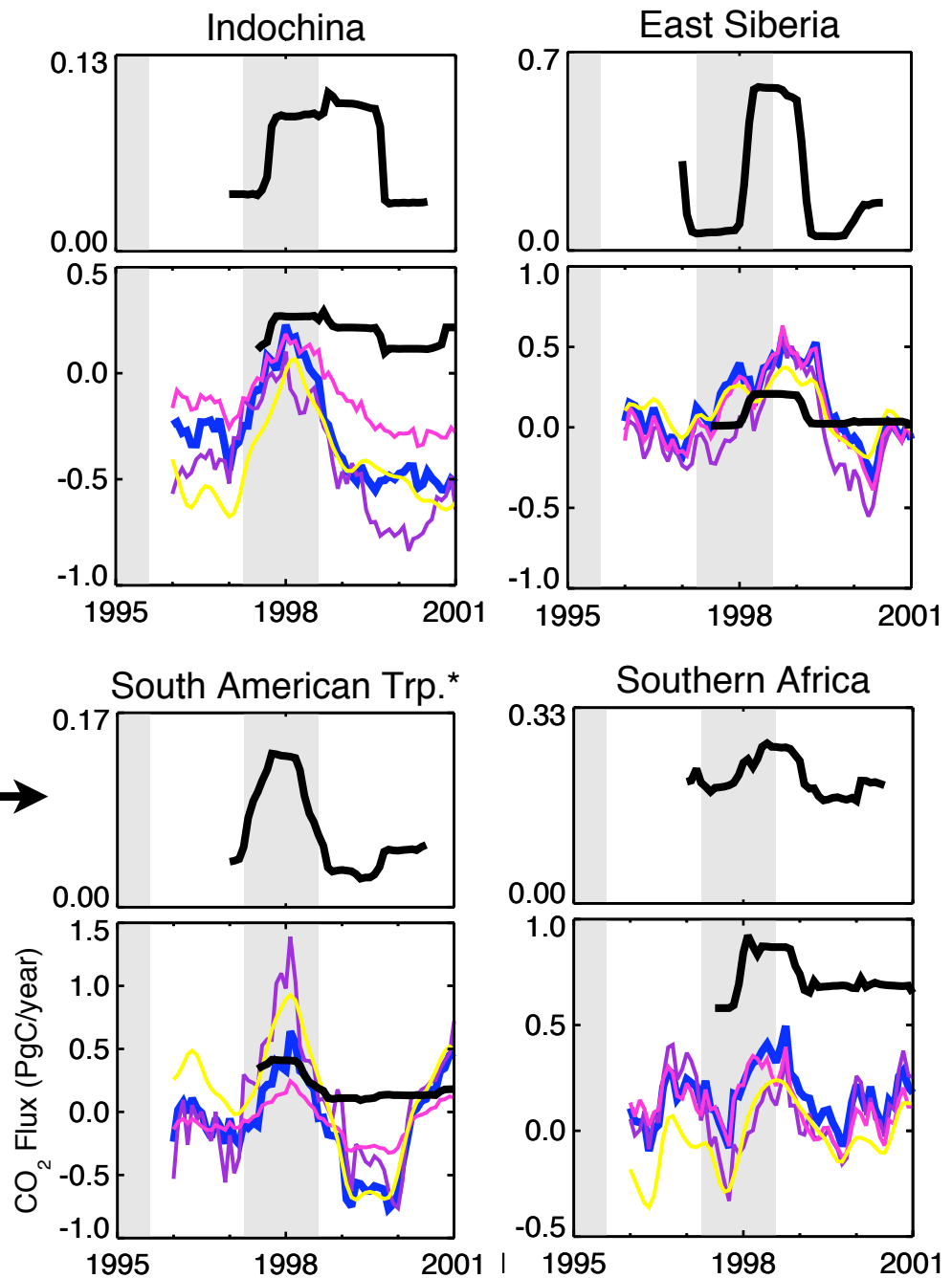
Vergleich der Inversionsrechnung mit aus Fernerkundungsdaten ermittelten Emissionen von Vegetationsfeuer

Firecounts
(arbitrary scale)

Inversions
(color lines)

Fireflux estimate
(van der Verf et al., 2003,
black line)

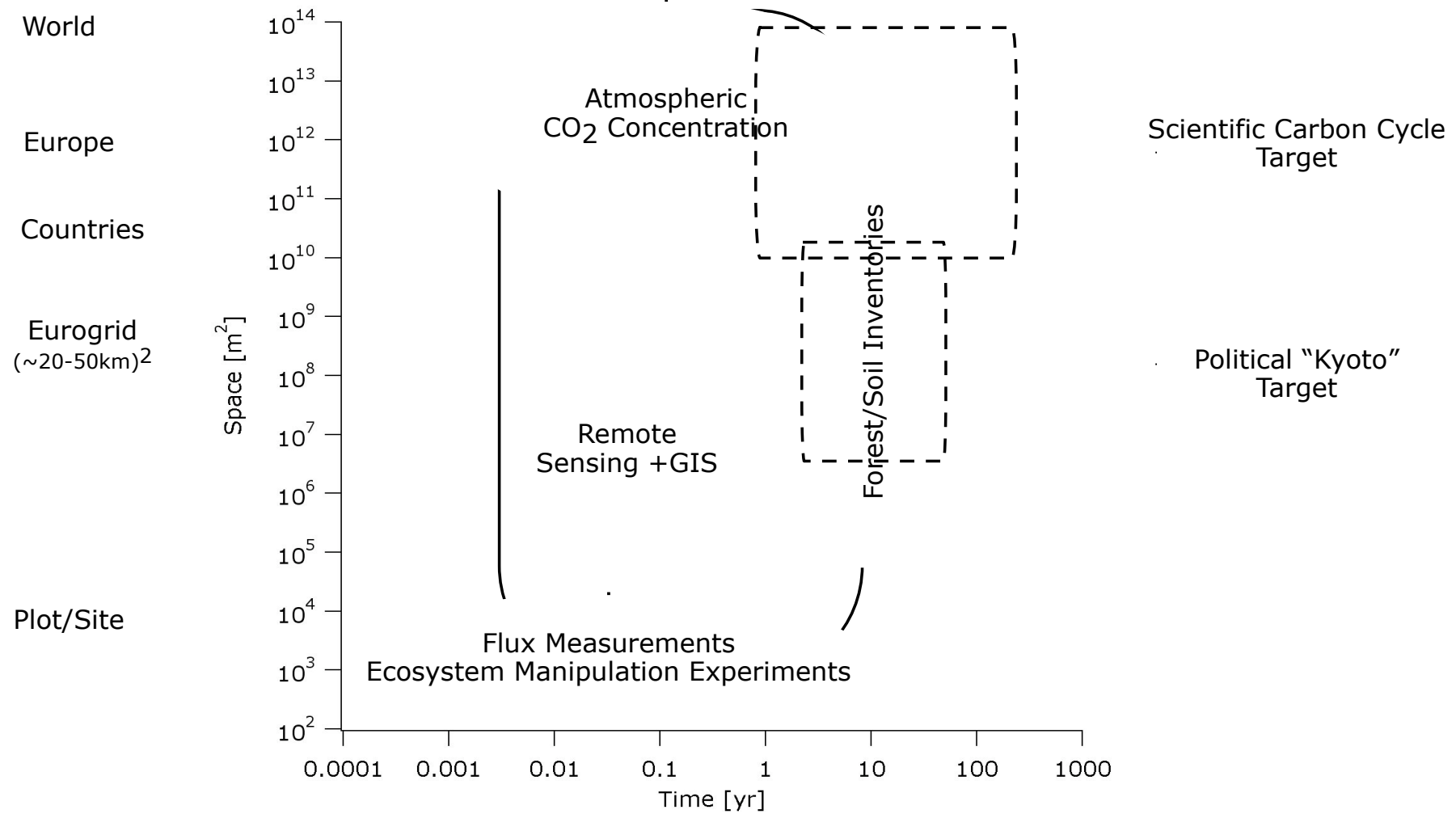
Rödenbeck et al., 2003, ACP



Zusammenfassung

- ◆ Erste Simulationen des globalen Wandels mit gekoppelten Kohlenstoffkreislauf-Klimamodellen zeigen potentiell signifikante Rückkopplungseffekte
- ◆ Bis heute zeigt der globale Kohlenstoffkreislauf nur ein passives, lineares Verhalten bezüglich der anthropogenen Störung
- ◆ Globale Inversionsrechnungen: heutige Auflösung auf der kontinentalen Skala; zeitliche Variabilität besser bestimmt als das zeitlich gemittelte räumliche Muster
- ◆ Interannuale (< -5a) Variabilität dominiert durch terrestrische Ökosysteme
- ◆ Vegetationsfeuer ein wichtiger Beitrag der interannualen Variabilität

Integration räumlicher und zeitlicher Skalen



Nächste Schritte zur Verbesserung der Top-Down Methode

- ◆ Ausbau des globalen Beobachtungssystems für biogeochemische Spurenstoffe
 - ◆ Verfeinerung des *in situ* Netzwerks (z.B. im Innern der Kontinente, u.a. mit Hilfe von “tall towers”)
 - ◆ Kontinuierliche Konzentrationsmessungen
 - ◆ Multi-tracer Verfahren (CO, CH₄, SF₆, O₂/N₂, C-isotope,...)
 - ◆ Entwicklung von Satelliten-gestützten Sensoren (OCO, GOSAT,...)
- ◆ Methodische Entwicklungen
 - ◆ Hohe raumzeitliche Auflösung des atmosphärischen Transportes (z.B. durch Bezug eines atmosphärischen Mesoskalen-Modellsystems)
 - ◆ Datenassimilation: Einbezug von *in situ* Beobachtungen in gekoppelte Kohlenstoffkreislauf-Klimamodelle
 - ◆ Datenassimilation: Einbezug von Beobachtungen mit unterschiedlichen zeitlichen und räumlichen Charakteristiken (Konzentration, Flussmessungen, Forstinventardaten, Multi-tracer Daten, Fernerkundungsdaten, etc. - GEMS)